

# تقدير حجم الجريان السطحي لحوض وادي الولج باستخدام نموذج (SCS-CN) الباحثة هاله حاكم محمد أ.م.د. سعدي عبد عودة كلية التربية للبنات - جامعة الانبار

، (سربیه سبت ۱۰

المستخلص

يقع حوض وادي الولج ضمن أرض هضبة الأنبار الغربية في جزئها الشمالي الغربي، وهو من الاودية الموسمية الجافة ذات تصريف مائي داخلي، تبلغ مساحته (٤٥٣٩) كم٢، تم الاعتماد على فرضية صيانة الترب الامريكية التي تسمى باختصار (SCS-CN) لتقدير حجم الجريان السطحي، والتي تعتمد على نوعية التربة والغطاء الأرضي فضلاً عن كمية الأمطار، وقد تم تقسيم الحوض إلى أربعة أحواض ثانوية بمساحات متباينة للكشف عن أكثرها مساهمة في حدوث الجريان السطحي؛ وتبين أن حوض وادي الملوسي أكثر الأحواض الثانوية مساهمة في حدوث الجريان السطحي؛ وذلك بسبب نوعية التربة قليلة النفاذية ونوعية الغطاء الأرضى الذي تغلب علية صفة الأراضى الجرداء .

الكلمات المفتاحية: الجريان السطحي- نموذج- SCS-CN

Estimation of the runoff volume of the Wadi Al-Wuj basin using the (SCS-CN) model.

Researcher Hala K. Mohammed Prof. Dr. Saadi A. Awda University of Anbar -College of Education for Women Saadi.abed@uoanbar.iq

#### **Abstract**

The basin of Wadi al-walaj valley is located within the western Anbar plateau in its northwestern part, and it is one of the seasonal dry valleys with internal water drainage, its size is 4539 km. Depending on the American hypotheses of keeping soil (SCS-CN) to determine the amount of eloping of water. This depends on : the quality of soil, the amount of rain and the cover of land. The basin of al-malousi valley appears to be the most important secondary basin contributing to surface runoff this is due to the quality of the soil with low permeability and the quality of the land cover, which dominated by barren land..

**Keywords: Surface runoff-model-SCS-CN** 



#### المقدمة

للموارد المائية في أحواض الوديان الجافة أهمية كبيرة؛ للحاجة اليها في تنمية مثل تلك المناطق التي تفتقر وبشكل واضح إلى المياه، حيث تستقبل أحواض التصريف في مثل تلك البيئات كمية من مياه الأمطار قد لا تكون كافية لنشوء جريان سطحي إلا أن عواصف الأمطار الفجائية تكون قادرة على حدوث جريان سطحي تختلف كمية حسب شدة العاصفة المطرية، وإن للسيل السطحي أهمية كبيرة إذ يمكن استثمارها والاستفادة منها لمثل تلك المناطق التي تفتقر إلى أي مصدر مائي دائمي الجريان، ولتقدير حجم الجريان السطحي في منطقة الدراسة تم الاعتماد على فرضية صيانة الترب الامريكية (SCS-CN) والتي تعد من أفضل الطرق الرياضية المستخدمة في مثل تلك الدراسات، في ظل عدم توفر محطات هيدرولوجبة لقياس السيل السطحي .

#### مشكلة الدراسة

تتمثل مشكلة بالبحث بالسؤال الآتي: (ما حجم الجريان السطحي في حوض وادي الولج وهل بالإمكان الاستفادة منه؟)

#### فرضية الدراسة

يوجد في الحوض كميات من المياه يمكن الاستفادة منها في تتمية الحوض.

#### هدف الدراسة

يتمثل هدف الدراسة في تقدير حجم الجريان السطحي ، وعمق الجريان السطحي الناتج عن عاصفة مطربة مؤثرة خلال عشر سنوات للعمل على تنمية الحوض .

#### حدود منطقة البحث

يقع حوض وادي الولج ضمن الهضبة الغربية العراقية في جزئها الشمالي، ضمن منطقة الحماد العراقي، يحدها من الشمال الغربي وادي صواب، ومن الشرق وادي الرتكة، ومن الغرب وادي خرجة ومن الجنوب الغربي وادي الأجنة، وفلكياً بين دائرتي عرض ( 33°) من 52 ′20 °32 – 38′ رقم شمالاً وخطي طول ( 3′′ 7° 98 – 11′′ 34°) شرقاً، أدارياً ضمن محافظة الأنبار الواقعة في الوسط الغربي من العراق وتحديداً في أقصى الغرب في قضاء الرطبة لتمر في مركز القضاء وناحية الوليد، أما مساحتها فقد بلغت (4539) كم من مساحة الهضبة الغربية العراقية البالغة (1.99) من مساحة الهضبة الغربية العراقية البالغة (228125.0)



 $2a^{2}$ ، ونسبة (٤.٨٦)% من مساحة قضاء الرطبة البالغة (٩٣٤٤٥) كم ، ونسبة (٣.٣) % من محافظة الأنبار البالغة (١٣٨.٥٨) كم (١)، الخريطة (١).

# شرح نموذج منحنى الأرقام SCS-CN لتقدير الجريان السطحي

تعد طريقة (SCS - CN) من أفضل الطرق الرياضية المستخدمة في تقدير الجريان السطحي وتسمى (Runoff currenuber) منحنى خدمة حفظ الموارد الطبيعية، والأكثر استخداماً لسهولتها ومتطلباتها المُعلمة لتقدير الجريان الناتج عن عاصفة مطرية مؤثرة، اعتمدت الدراسة الحالية على هذه الطريقة؛ وذلك لعدم توفر محطات هيدرولوجية لقياس حجم الوارد المائي في الحوض التصريفي، وذلك باستخدام برنامج (Arc Gis 10 . 4 . 1)، وبيانات الإستشعار عن بعُد، مع وحدات البكسل وبدقة تميزية (٣٠ × ٣٠) م، لأجل الحصول على نتائج مرضية محاكية للواقع وبدقة عالية، يتطلب هذا النموذج مجموعة من الأجراءات والتعديلات للحصول على تقديرات الوارد المائي .

30°0°°E 42°0°E 48°0°E 4

خريطة (١) موقع منطقة الدراسة من العراق ومحافظة الانبار

المصدر: بالاعتماد على خريطة العراق الطوبوغرافية بمقياس (١:١٠٠٠٠٠) لسنة (١٩٩٩) م، الصادرة عن الهيئة العامة للمساحة، باستخدام نموذج الارتفاع الرقمي (DEM) بدقة تميزية (٣٠×٣٠) م، مخرجات برنامج (Arc map 10.4.1).



# جدول (١) خصائص البيانات الفضائية المستخدمة في الدراسة

الدقة التميزية (م)	Row	Path	التأريخ	القمر الصناعي	التسلسل
30×30	37	171	2019/12/7	Landsat 8	3
30×30	37	172	2019/12/7	Landsat 8	4

# اولاً.المجموعات الهيدرولوجية لتربة حوض وادي الولج

صُنفت التربة من قِبل مصلحة صيانة الترب الأمريكية (SCS) إلى أربع مجموعات هيدرولوجية لكل منها رمز (D-C-B-A) وشميت بالمجموعات الهيدرولوجية للتربة (D + D + D) وشميت بالمجموعات الهيدرولوجية للتربة (Hydrologic soil groups) وذلك بحسب معدل أنتقال الماء في التربة (الأدنى) بعد الترطيب أي بحسب درجة نفاذيتها، تسهم التربة بدور أساسي في تقدير الجريان السطحي فالتربة التي تتكون من الحصى والرمال تتصف بمعدلات تسرب عالية عكس التربة التي تتكون من الطين والطمي والتي تتصف بمعدلات تسرب منخفضة وأنعكاس ذلك على مدى أستجابتها لحدوث الجريان السطحي، ومن الجدول(2) يتبين أن لكل نوع من أنواع الترب صفاتة الخاصة فالصنفين (D + D) يمثلان حالتين متطرفتين، فيشكل الصنف (D) جريان سطحي منخفض بينما يشكل الصنف (D) جريان سطحي عالي، أما بالنسبة للصنفين (D - D) فيشكلان جريان سطحي متوسط ، بالاعتماد على خريطة أصناف الترب الهيدرولوجية لمنذة (D + D من والتقرير الذي أعدته منظمة الأغذية والزراعة العالمية (D + D ) الخاص بالعراق، وباستخدام التصنيف الغير موجة تم تحديد أصناف الترب الهيدرولوجية في منطقة الدراسة وعلى النحو الآتي :



#### جدول ( ۲ ) المجموعات الهيدرولوجية للتربة حسب تصنيف ( SCS – CN )

معدل التسرب	امكانيات		عمق	الصنف
ملم /ساعة	المياه	نوع التربة	الجريان	
	الجوفية			
تسرب مرتفع أكثر	امكانيات	طبقة رملية عميقة مع كميات قليلة جداً	قلیل	Α
من ( ۷,62)	عالية	من الطين والغرين		
تسرب معتدل ما بين	امكانيات	طبقة رملية أقل عمق من الصنف (A)	متوسط	В
(3,81-7,62)	معتدلة	بمعدل أرتشاح متوسط بعد الترطيب		
تسرب منخفض ما	امكانيات	طبقة طينية محدودة العمق مع معدل	فوق	С
بين (3,81–1,27)	منخفضة	أرتشاح دون المتوسط قبل وصول	المتوسط	
		التربة إلى مرحلة التشبع		
تسرب منخفض	امكانيات	طبقة طينية ذات نسبة أنتفاخ عالية	عالي	D
جداً أقل من	منخفضة	مع وجود طبقة ضحلة من التربة		
(1,27)	جداً	الناعمة قريبة من السطح		

Source : (1) Soil conservacation service . Urban Hydrology for small watershed . Technical releases 55,  $2^{\rm nd}$ , U.s.Dept of agriculture , Washington D.c.1986.

(2) Hossam H.Elewa . Atef A . Gaddah , ground water potentiality mapping in the sinai peninsula , egypt , using remote sensing and Gis-watershed – based modeling , hydrogeology journal , 2011 , 19 , pp  $^{613-628}$  .

#### 1 . المجموعة الهيدرولوجية B

تتصف هذه الترب بعمق معتدل إلى عميق، ذات نسيخ معتدل إلى خشن، وتتمتع بتصريف جيد ومعدلات تسرب معتدلة بعد الترطيب التام فيتراوح معدل انتقال الماء خلالها بين ( 2.87 – 3.81) ملم/ساعة<sup>(2)</sup>، تتألف هذه الترب من خليط من الحصى والفتات الصخري والجلاميد الصخرية تربط بينها مواد لاصقة، أغلب التكوينات الجيولوجية لهذه الترب تعود للزمن الجيولوجي الثلاثي منها تكوين الغار الذي يتصف بكونه قليل الصلابة ويتألف من الحصى والطين والرمال وقليل من الأنهيدرايت، وتكوين الرطكة الذي يتألف من الحجر الكلسى والدولومايت والصوان، مع وجود ترسبات العصر الرباعي التي يغلب على تكوينها



الحصى والرمال، تمتد هذه الترب على شكل شريط طولي في منطقة الدراسة من الشمال إلى الجنوب وتشغل مساحة ( (2905) كم بنسبة ((64.0)) ، الخريطة ((2905)) الجدول ((3)).

#### ۲ . المجموعة الهيدرولوجية (C)

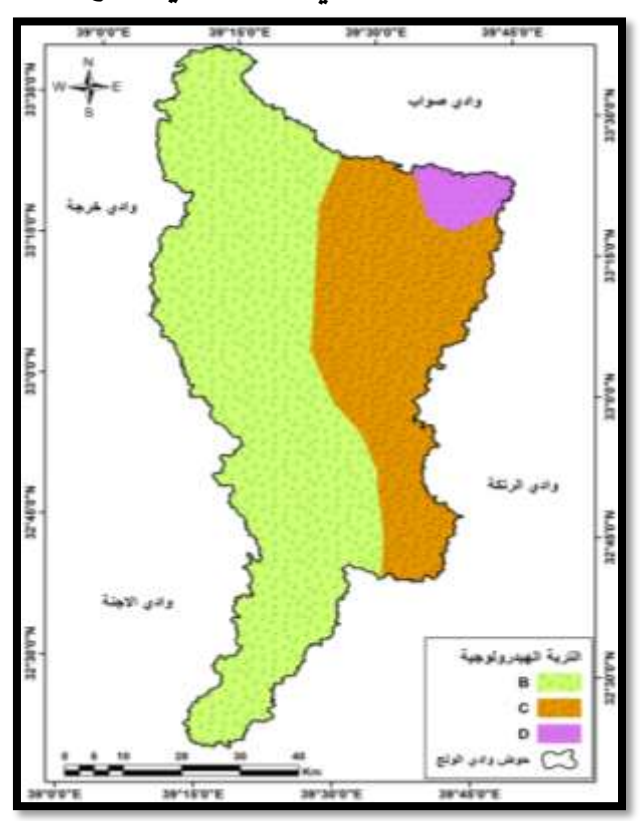
وهي ترب ذات نسيج متوسط إلى ناعم ، وتتصف بمعدل تسرب منخفض بعد الترطيب التام ، وتتكون بشكل رئيس من تربة ذات طبقة تعوق الحركة الهابطة للماء إذ يتراوح معدل انتقال الماء خلالها بين (3.81–1.27) ملم/ساعة وتتألف من الجلاميد والحصى مختلطة مع الرمل، تعود التكوينات الجيولوجية التي تنتشر فوقها هذه الترب إلى الزمن الجيولوجي الثلاثي كتكوين الغار والرطكة وتكوين عكاشات الذي يتكون من جزئين ويتألف من حجر طيني ناعم متبادل وطبقات رقيقة من الفوسفورايت والحجر الكلسي الحاوي على المتحجرات عالى الفوسفاتية ، تمتد هذه الترب على شكل شريط طولي لتشغل الأجزاء على المتحبرات عالى الفوسفاتية الشرقية والجنوبية الشرقية والجنوبية الشرقية بمساحة (1484) كم بنسبة (٣٢.٧) %، الخريطة (2)، الحدول (٣).

#### D . المجموعة الهيدر ولوجية D

وهي أفضل أنواع الترب من حيث قابليتها على توالد الجريان السطحي، تتصف بمعدل تسرب منخفض جداً بعد الترطيب التام، إذ يكون معدل أنتقال الماء خلالها أقل من (١٠٢٧) ملم /ساعة، وتتألف بشكل رئيس من طبقة طينية قريبة من السطح بنسبة أنتفاخ عالية، وهي ترب ضحلة وهذه العوامل من أهم متطلبات الجريان السطحي، تنتشر هذه الترب فوق تكوينات الزمن الجيولوجي الثالث (الغار والرطكة) وتشغل مساحة (١٥٠) كم٢ بنسبة فوق تكوينات الأجزاء الشمالية الشرقية، الخريطة (2)، الجدول (3).



# خريطة (2)أصناف الترب الهيدرولوجية في حوض وادي الولج



جدول ( 3 ) أصناف ومساحات ونسب الترب الهيدرولوجية في حوض وادي الولج

أسم الصنف	المساحة كم	النسبة %
В	2905	64.0
С	1484	32.7
D	150	3.3
المجموع	4539	100 %

المصدر: بالاعتماد على الخريطة (٢).

المصدر: بالاعتماد على خريطة تصنيف الترب التي تصدرها منظمة الأغذية والزراعة (الفاو) ،وخصائص الحوض الطبيعية ، ومخرجات برنامج (10.4.1 Arc map).



# ثالثاً : تصنيف الغطاء الأرضي ( Lulc ) ثالثاً : تصنيف الغطاء الأرضي

تم تطوير نموذج ( CN <sub>NDVI</sub> ) باستخدام الانحدار الخطى بين ( CN ) المحسوبة عكسياً من الأمطار المرصودة والجربان السطحى وبيانات (NDVI) المستشعرة عن بعُد، حيث تم استخدام (NDVI) كبديل لتغيرات استخدام الغطاء الأرضى والظروف الهيدرولوجية لمستجمعات المياه التي تساعد في تشكيل علاقة هطول الأمطار، لأن (NDVI) مقياس غير مباشر للخصائص البيوفيزبائية للأسطح النباتية، فالعلاقة عكسية بين (CN) و (NDVI) فتشير الزبادة في الأخيرة إلى زبادة في الكتلة الحيوبة فوق الأرض أو مؤشرات منطقة الورقة الأعلى والتي تؤدي إلى انخفاض معدلات الجريان وزيادة معدلات التسرب والتبخر/النتح للمياه، بينما الأسطح ذات قيم (NDVI) المنخفضة فتسهم في زبادة الجربان السطحي وقلة المفقود من المياه (3)، تم تصنيف الغطاء الأرضى في منطقة الدراسة بالاعتماد على مرئيتين فضائيتين تغطيان منطقة الدراسة من القمر الصناعي الأمريكي ( Landsat 8 ) بتأريخ ) ( 7/ 12 / 2019 من نوع ( ETM ) بدقة تميزية ( ٣٠ × ٣٠ ) م، وباستخدام التصنيف الغير موجة في برنامج (Arc map .10.4.1 ) تم تحديد أسماء التصانيف للغطاء الأرضى وبالاعتماد على المنهج الذي وضعته مصلحة صيانة التربة الأمريكية ( SCS ) لغرض الحصول على قيم (CN) ووفقاً للملحق الخاص بأرقام ( منحنى نموذج الأرقام ) وبعد ذلك تم أحتساب مساحة كل صنف في حوض منطقة الدراسة، الخريطة ( 3)، الجدول .(4)

# 1 – أراضي جرداء Barren Land

تمثل هذه الفئة الأراضي الوعرة الغير قابلة للأنبات أو التي تكون لها قابلة محدودة جداً ، وإلى حداً ما تكون غير صالحة من ناحية الأستثمار الزراعي، ينتشر هذا الصنف في منطقة الدراسة ويشغل ثاني أكبر مساحة بلغت ( ١٧١٦) كم ، بنسبة ( 37.8 )%، يسهم هذا الصنف بتأثير أيجابي من الناحية الهيدرولوجية إذ يساعد على زيادة الجريان السطحي كنتيجة لقلة أو عدم توفر الغطاء النباتي الذي يعيق حركة الماء ويبطئ من سرعته ويزيد من كميتة المفقودة وحسب نوعية التربة من حيث المسامية والنفاذية واللتان تختلفان بأختلاف نوعية الصخر ونظام الفواصل والشقوق وخطوط الصدوع التي تشغل الواجهة المكشوفة والأجزاء السفلية فضلاً عن تأثير الكثير من العوامل المؤثرة الأخرى كالانحدار فغالباً ما تتمثل



الأراضي الوعرة في الأجزاء الأكثر انحداراً حيث لا تسمح درجة الانحدار بتراكم المفتتات والرواسب وبالتالي ستتراكم في الأجزاء الأقل انحداراً مما يجعل أنقطاع الجريان السطحي أمراً ورداً وحسب كمية المطر وشدة (4).

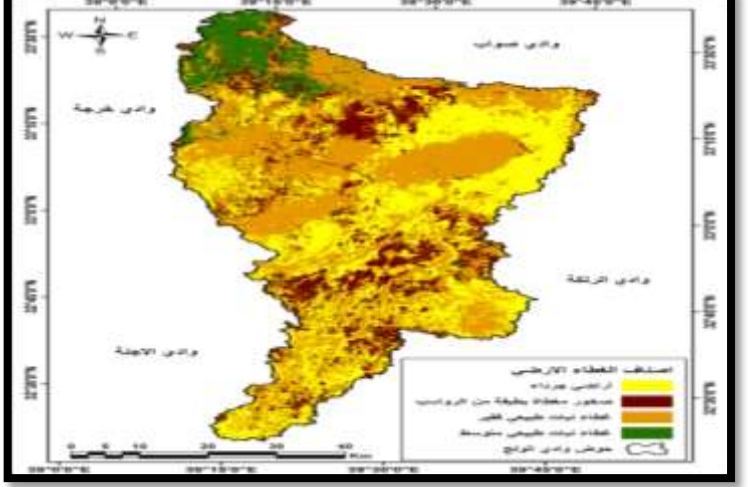
#### 2. صخور مغطاة بطبقة من الرواسب

وتشمل الأراضي المغطاه بطبقة من الرواسب المفككة الناتجة عمليات الحت المائي والريحي، تتسم هذه الرواسب بفقرها للمواد اللاحمة مما يؤدي إلى تفكك حبيباتها، تتأثر بالانحدار فكلما زادت درجة الانحدار أسهم بجريان سطحي عالي مما يؤدي إلى زيادة جرف الرواسب، تسهم هذه الفئة بجريان سطحي عالي، تنتشر هذه الفئة في منطقة الدراسة وتشغل ثالث أكبر مساحة (763) كم بنسبة (17,٨)%.

# ٣ . غطاء نباتي طبيعي فقير

تتمثل هذه الفئة بالأراضي التي تحتوي على نباتات طبيعية صحراوية فقيرة وبعض الشجيرات الموزعة على أجزاء المنطقة، تنتشر هذه الفئة في منطقة الدراسة وتشغل أكبر مساحة فقد بلغت ( 1۷۲۲) كم بنسبة (7۷.9) .





المصدر: بالاعتماد على الخريطة (٣)، ومخرجات برنامج ( Arc map 10.4.1 ) .



# جدول(4) أصناف الغطاء الأرضي في منطقة الدراسة

التساسل	لسل نوع الغطاء الأرضي		النسبة %
١	أراضي جرداء	١٧١٦	37.8
۲	صخور مغطاة بطبقة من الرواسب	<b>٧٦</b> ٣	16.8
٣	غطاء نباتي طبيعي فقير	1777	37.9
ŧ	غطاء نباتي طبيعي متوسط	338	7.5
المجموع		4539	%100

المصدر : الباحثة بالاعتماد على بيانات القمر الصناعي ( OLI Landsatlc 8 ) ، بتأريخ ( 2019/12/7 ) ، باستخدام برنامج ( Arc map 10.4.1 ) ، باستخدام برنامج ( 6.4.1

#### ٤ . غطاء نباتي طبيعي متوسط

تتمثل هذه الفئة بالأراضي التي تتمو فيها نباتات طبيعية صحراوية متوسطة الكثافة، ولهذه الفئة تأثير كبير من الناحية الهيدرولوجية؛ فكلما زادت كثافة الغطاء النباتي كلما كانت كمية المياه المفقودة بالتسرب والتبخر/النتح كبيرة فضلاً عن كمية المياه المحتجزة من قبل المجموعة الخضرية وبالتالي قلة حدوث الجريان وفي المقابل تسهم بدرجة كبيرة في تغذية مكامن المياه الجوفية وحسب نوعية التربة ومناطق الضعف الجيولوجي وكمية وشدة المطر والفترة الزمنية (ساعات الاستمرار) تشغل هذه الفئة أصغر مساحة من منطقة الدراسة فقد بلغت ( ٣٣٨ ) كم بنسبة (٧٠٠)%، يلاحظ تركز الغطاء النباتي الطبيعي متوسط الكثافة ضمن الأجزاء الدنيا من منطقة الدراسة مع وجود نسبة قليلة جداً منتشرة في أرجاء المنطقة .

# رابعاً: أستخلاص قيم ( Curve Number ( CN ) لحوض وادي الولج

الـ ( CN ) قيمة رقمية تتراوح بين ( 0 – 100 ) تعكس حالة هيدرولوجية التربة وغطاءات الأرض، وتعبر عن مقدار نفاذية الأسطح للمياء، فقيم الـ (CN) المرتفعة التي تتجه نحو الـ ( 100) تدل على إن الأسطح قليلة النفاذية مما تسهم حدوث الجريان السطحي، وتدل القيمة ( ١٠٠ ) الأسطح الصلاة تماماً والتي تكون أكثر قدرة على توالد جريان سطحي عالي، وبالعكس القيم التي تتجه نحو الـ ( ٠ ) تدل على إن الأسطح عالية



النفاذية وأكثر قدرة على استيعاب ما يسقط من أمطار الأمر الذي يعيق حدوث جريان سطحي<sup>(5)</sup> وبسهم بزيادة التغذية الجوفية .

تم استخلاص قيمة الـ ( CN ) من خلال دمج طبقتي غطاءات الأرض والمجموعات المهيدرولوجية للترب بواسطة ( Combine ) في بيئة برنامج ( 10.4.1 ) ووفقاً للجدول المُعد من قِبل ( SCS ) وعلى النحو الآتى :

Spatial Analyst Tools → Local →Combine

ومن الجدول (5) يتضح إن قيم (CN) المعبرة عن مقدار نفاذية منطقة الدراسة بلغت بمجموعها أثنى عشرة قيمة موزعة على أربعة أصناف من غطاءات الأرض وثلاث فئات للترب الهيدرولوجية وتراوحت القيم بين (72) كأقل قيمة للأسطح المنفذة، وبين (٩٤) كأعلى قيمة للأسطح الغير منفذة .

ويتضح تكرار بعض القيم لغطاءات مختلفة وضمن فئات هيدرولوجية مختلفة ، فصنف الأراضي الرديئة ضمن الفئة الهيدرولوجية (B) والأراضي ذات الغطاء النباتي الطبيعي المتوسط ضمن الفئة الهيدرولوجية (D) لهما نفس قيمة (CN) (86) ، وكذلك تشابه قيمة(CN) (85) لصنف الصخور المغطاة بطبقة من الرواسب ضمن الفئة الهيدرولوجية (B) مع صنف الغطاء النباتي الطبيعي الفقير ضمن الفئة الهيدرولوجية (C) وهي قيم مرتفعة تدل على إن الأسطح ذات نفاذية قليلة ولها القدرة على حدوث الجريان السطحى في حوض الدراسة تختلف قوية حسب قوة العاصفة المطربة وشدتها .

جدول (5) قيم ( CN) المقابلة لغطاءات الأرض والفئات الهيدرولوجية للتربة .

2	لهيدر ولوجية للتربأ	المجموعات ا	غطاءات الأرض 86 A 85 B 77 C	
D	С	В		
94	91	86		
93	90	85		
88	85	77		
86	81	72	72	D

Source : USDA , TR 55 , urben hydroglogy for small watersheds , opic , pp 2-5-8 .

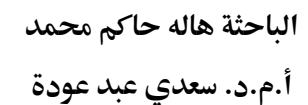


# ۱ . توزيع قيم (CN) في حوض وادي الولج

من الخريطة (4) والجدول(6) يتبين إن أكثر قيم (CN) توزيعاً هي القيمة (85) وتمثل مناطق الصخور المغطاة بطبقة من الرواسب والمناطق التي تتميز بغطاء نباتي طبيعي فقير، ضمن الفئة الهيدرولوجية (C-B) وتنتشر في معظم أجزاء الحوض لتشغل مساحة (1107) كم المنسبة (24.4) ، وهي قيمة عالية تدل على قلة النفاذية؛ مما ينعكس على امكانية حدوث جربان سطحي وبحسب كمية الأمطار، وتأتى القيمة (77) بالمرتبة الثانية ضمن المناطق التي تتميز بغطاء نباتي طبيعي فقير، وضمن الفئة الهيدرولوجية (B)، يلاحظ أن هذه القيمة تنتشر بشكل شريط طولى ضمن الفئة الهيدرولوجية (B) لتشغل مساحة (1095)كم بنسبة (24.1)% ، وهي قيمة متوسطة؛ تسهم بحدوث جربان سطحي متوسط وهذا يتوافق مع صفات الفئة الهيدرولوجية والغطاء الأرضى التي تقع ضمنها، وتأتى بالمرتبة الثالثة القيمة (86) ضمن فئة الأراضي الرديئة والتي تتميز بغطاء نباتي طبيعي متوسط الكثافة، ضمن الفئة الهيدرولوجية (B) ونسبة قليلة ضمن الفئة (D) لتشغل مساحة (918) كم السبة (20.2) وهي قيمة عالية تسهم بجربان سطحي عالى وبنسبة أكبر من الصنف السابق بالرغم من وقوعها ضمن نفس الفئة الهيدرولوجية؛ وذلك بسبب الأراضى الرديئة وقلة نفاذية التربة (D)، تتوزع القيم المتبقية في أجزاء الحوض الأخرى وكما موضح في الخربطة (21) والجدول (40) لتبلغ أعلى قيمة (94) ضمن الأراضي الرديئة والفئة الهيدرولوجية (D) وتشغل مساحة (54) كم بنسبة (1.2)%، وهي قيمة مرتفعة تسهم بحدوث جريان سطحي عالى؛ بسبب صفات المنطقة الطبيعية من حيث الغطاء الأرضى والتربة التي تتصف بقدرة تسريبية ضعيفة جداً، بينما بلغت أقل قيمة (72) ضمن الأراضي التي تتميز بغطاء نباتي طبيعي متوسط الكثافة والفئة الهيدرولوجية (B) لتشغل مساحة (329) كم البنسبة (7.3)%، وهي قيمة متوسطة تسهم بحدوث جربان سطحي متوسط؛ وبشكل يتوافق مع صفات التربة( نفاذية متوسطة) والغطاء النباتي (كثافة متوسطة) .

ولكي يتم حساب قيمة (CN) الموزونة والتي تحتوي على قيمة واحدة ناتجة عن مجموعة قيم (CN) والترب والغطاء الأرضى ، تم الاعتماد على المعادلة الآتية<sup>(6)</sup>:

$$\mathsf{CN}_{\mathsf{W}} = rac{\sum (CNi * Ai)}{A}$$
  
: إذ إن





. وقم المنحنى الموزون  $CN_W$ 

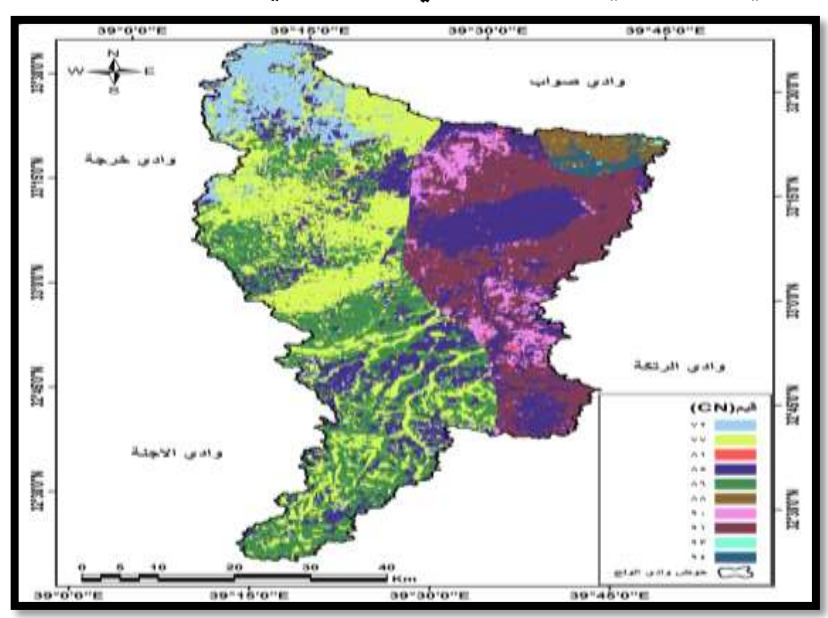
Ai = المنطقة ذات رقم المنحنى .

CNi = رقم المنحنى من واحد إلى أي رقم .

A = المساحة الكلية للمستجمع المائي .

ومن خلال تطبيق معادلة (CN w) الموزونة يتضح إن اسطح حوض الدراسة ذات قيمة عالية (83.8) مما يدل على إن منطقة الدراسة ذات قدرة على حدوث جريان سطحي عالى، حسب كمية وقوة وشدة ومدة العاصفة المطربة.

خريطة (4) توزيع قيم (CN) في حوض وادي الولج





### جدول (6) توزیع قیم (CN) فیحوض وادي الولج

المساحة	المساحة	قیم CN
%	کم ۲	
٧.3	779	V <b>Y</b>
24.1	1.90	٧٧
0.2	٩	٨١
24.4	11.4	٨٥
20.2	911	٨٦
2.0	٨٩	٨٨
4.1	١٨٨	٩.
16.4	٧٤٤	٩١
0.1	٦	٩٣
1.2	0 £	9 £
%100	१०८४	المجموع

المصدر: بالاعتماد على خريطة (٤) ومخرجات برنامج (Arc map 10.4.1) المصدر: بالاعتماد على المرئية الفضائية من القمر الصناعي (Oli landsat lc) بتأريخ (2019/12/7) ، باستخدام برنامج (Arc map 10.4.1) ، ومخرجات برنامج (Erdas lamgine 9.2) .

# Weighted curve استخلاص قيم (CN) الموزونة للاحواض الثانوية - ۲ namber

لاستخلاص القيم الموزونة للأحواض الثانوية أهمية كبيرة؛ لكي يتم معرفة أي الأحواض قدرة على حدوث الجريان السطحي، وأكثر احواض قدرة على تصريف مياه الأمطار، وتسرب المياه الى داخل التربة وزيادة التغذية الجوفية، وأي الأحواض تعد في مأمن من خطر الفيضان وتلك المهددة بخطر الفيضان؛ تم استخلاص قيم (CN) للأحواض الثانوية، ومن ثم تطبيق معادلة (CN)، ومن الجدول (7) يتبين أن قيم (CN) الموزونة للأحواض الثانوية عالية، فقد بلغت (87.3) كأعلى قيمة في حوض وادي الملوسي مما يدل على أنه أقل الأحواض الثانوية نفاذية للمياه؛ وبالتالي فهو أهم الأحواض المغذية للوادي الرئيس بمياه الجريان السطحي، بينما سجلت أقل قيمة (80.7) في حوض وادي بريم؛ مما الرئيس بمياه الجريان السطحي، بينما سجلت أقل قيمة (80.7) في حوض وادي بريم؛ مما



يدل على أنه أكثر الأحواض نفاذية للمياه؛ وتغذية للمياه الجوفية ( وبالتالي زيادة كميتها وامكانية استثمارها )، وأقلها قدرة على حدوث الجربان السطحى .

جدول (7) قيم (CN) الموزونة للاحواض الثانوية

ت	الحوض	المساحة كم	ويم «CN
1	حوض وادي طرفاوي	1101.5	84.2
2	حوض وادي الحبة	472.2	85.0
3	حوض وادي بريم	937.1	80.7
4	حوض وادي الملوسي	924.8	87.3

المصدر: بالاعتماد على الجدول (  $\Lambda$ ) والمعادلة الحسابية  $CN_W$ .

اما بالنسبة لتوزيع قيم (CN) في الأحواض الثانوية فتكمن كالآتي:

أ . تراوحت القيم في حوض وادي طرفاوي بين (72) كأقل قيمة وتمثل المناطق المغطاة بغطاء نباتي طبيعي متوسط الكثافة ، ضمن الفئة الهيدرولوجية (B) والتي تتميز بأسطح متوسطة النفاذية ، وشغلت مساحة (13) كم بنسبة (10.80)%، وبين (91) كأعلى قيمة وتمثل الأراضي الرديئة والتي تتميز بغطاء نباتي طبيعي فقير ، ضمن الفئة الهيدرولوجية (C) وشغلت مساحة (119) كم بنسبة (10.80) ، بينما سجلت أكثر القيم انتشاراً (88) وتمثل الأراضي الرديئة، ضمن الفئة الهيدرولوجية (B) شغلت مساحة (397) كم بنسبة (40.03)%، وسجلت أقل القيم انتشاراً (81) وتمثل الأراضي التي تتميز بغطاء نباتي بنسبة (2.5)%، وسجلت أقل القيم انتشاراً (31) وتمثل الأراضي التي تتميز بغطاء نباتي طبيعي فقير ، ضمن الفئة الهيدرولوجية (C) شغلت مساحة (2.5)كم بنسبة (0.23)% وتوزعت القيم الأخرى على المساحة المتبقية بنسب مختلفة ، الخريطة (5)، الجدول (8) .

ب. تراوحت القيم في حوض وادي الحبة بين(72) كأقل القيم وتمثل المناطق التي تتميز بغطاء نباتي طبيعي متوسط الكثافة، ضمن الفئة الهيدرولوجية (B) وشغلت مساحة (4) كم بنسبة (0,85)%، وبين (91) كأعلى القيم وتمثل الأراضي الرديئة، ضمن الفئة الهيدرولوجية (C) وشغلت مساحة (113) كم بنسبة (23.93)%، اما أكثر القيم انتشاراً (85) وتمثل الأراضي المغطاة بطبقة من الرواسب، والتي تتميز بغطاء نباتي طبيعي فقير، ضمن الفئة الهيدرولوجية (B-C)، وشغلت مساحة (121) كم بنسبة (25.62)%، بينما كانت أقل القيم أنتشاراً (81) ضمن الأراضي التي تتميز بغطاء نباتي طبيعي متوسط،



ضمن الفئة الهيدرولوجية (C)، وشغلت مساحة (L) كم بنسبة (L)، وتوزعت القيم الأخرى على المساحة المتبقية بنسب مختلفة، الخريطة (L) الجدول (L).

ت . تراوحت القيم في حوض وادي بريم بين (72) كأقل القيم وتمثل الأراضي المغطاة بغطاء نباتي طبيعي متوسط الكثافة، ضمن الفئة الهيدرولوجية (B) وشغلت مساحة (33) كم بنسبة (3.52)%، وبين (91) كأعلى القيم وتمثل الأراضي الرديئة، ضمن الفئة الهيدرولوجية (C) وشغلت مساحة (2.1) كم بنسبة (0.22)%، وهي أقل القيم أنتشارا، بينما سجلت أكثر القيم أنتشارا (77) وتمثل أراضي الغطاء النباتي الطبيعي الفقير وشغلت مساحة (489) كم بنسبة (52.18)%، وتوزعت القيم الأخرى على المساحة المتبقية بنسب مختلفة، الخريطة (7)، الجدول(8) .

ث. تراوحت القيم في حوض وادي الملوسي بين (72) كأقل القيم وتمثل الأراضي التي تتميز بغطاء نباتي طبيعي متوسط الكثافة، ضمن الفئة الهيدرولوجية (B) وشغلت مساحة(28) كم بنسبة (3.03)%، وبين (94) كأعلى القيم وتمثل الأراضي الرديئة، ضمن الفئة الهيدرولوجية (D) وهي اسطح شديدة الصماتة والأكثر قدرة على حدوث الجريان السطحي، شغلت مساحة (55) كم بنسبة (5.95)%، وكانت أكثر القيم انتشاراً (91) وتمثل الأراضي الرديئة، ضمن الفئة الهيدرولوجية (C)، وشغلت مساحة (357) كم بنسبة وتمثل الأراضي الوعرة، والتي تتميز بغطاء نباتي طبيعي متوسط الكثافة، ضمن الفئة الهيدرولوجية (B-C) وشغلت مساحة (2.4) كم بنسبة (0.26)%، وتوزعت القيم الأخرى على المساحة المتبقية بنسب مختلفة، الخريطة (8) الجدول (8).

# خامساً : حساب معامل الامكانية القصوى للاحتفاظ بالماء بعد بدء الجريان السطحي (S)

يوصف معامل (S) (Potential maximum retention after runoff) مدى المكانية التربة على الاحتفاظ بالماء بعد بدء الجريان السطحي (أي بعد ترطيب التربة بشكل تام وتوقف التسرب)، ويتأثر هذا المعامل بغطاءات الأرض، ونوعية التربة من حيث سمكها ومكوناتها ونسجتها، وتدل قيم (S) التي تقترب من الصفر على انخفاض قدرة التربة على الاحتفاظ بالماء بعد بدء الجريان السطحي؛ مما يؤدي إلى زيادة كمية الماء الجارية على



السطح ، بينما تدل القيم المرتفعة على ارتفاع قدرة التربة على الاحتفاظ بالماء بعد بدء الجريان السطحي؛ مما يؤدي إلى انخفاض كمية المياه الجارية على السطح $^{(V)}$ ، وتتماثل كمية المياه الجارية مع الكمية المفقودة عندما تبلع قيمة (S) قيمة الوسيط (S) ملم ويتم حساب قيمة (S) باستخدام المعادلة الاتية $^{(N)}$ :

### S = 1000/CN - 10

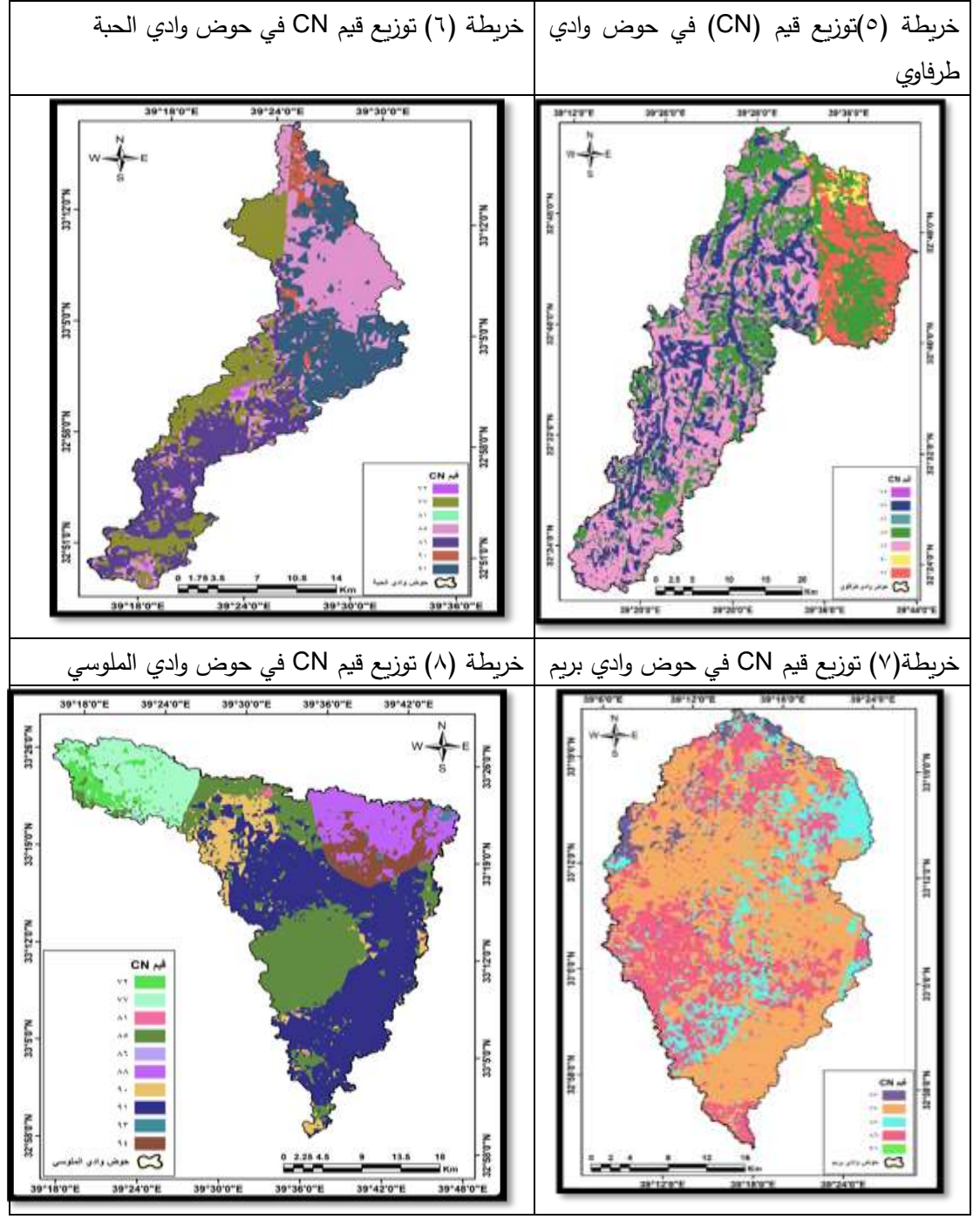
وبما إن مدخلات النموذج بالبوصة؛ لذلك تم إعادة صياغة المعادلة لتتوافق مع المقاييس المترية، إذ ضربت الارقام الثابتة في المعادلة السابقة في (٤.٢٥)؛ ليتم تحويلها من البوصة إلى المليمتر وتأخذت المعادلة صيغتها الاتية (٩):

 $S = \frac{25400}{CN} - 254$  جدول (8) توزيع قيم CN جدول

لملوسي	هوض ولاي ا		زيم	ِض ولاي ب	2	13	, وادي الحبة	حوض	4	, ولاي طرفاوي	حوضر
الساحة %		قِم CN	المساحة %		قيم CN			قيم CN		الساحة	قيم CN
	کم			کم"		%	کم†		%	کم'	
3.03	YA	٧٢	7.07	۲۲	VY	0.85	4	72	1.18	13	٧٢
10.16	48	YY	52.18	٤٨٩	YY	21.81	103	YY	21.34	777	YY
0.48	4.4	٨١	15.37	188	Λo	0.25	1.2	A١	0.23	2.5	٨١
24.87	230	Α٥	28.71	114	Α٦	25.62	121	Αo	28.69	316	Ąο
0.26	2.4	Αl	0.22	1.1	41	23.30	110	Æ	36.04	397	17.
9.62	89	AA				4.24	20	٩.	1.63	18	9.
6-27	58	۹.				23.93	113	91	10.80	119	41
38.60	357	91									
0.76	7	97									
5.95	55	98									
%100	924.8	المجموع	%100	144.1	المجموع	%100	472.2	المجموع	% 100	1101.5	المجموع

المصدر: بالاعتماد على الخرائط ٥-٦-٧-٨ )) باستخدام برنامج (Arc map 10.4.1)





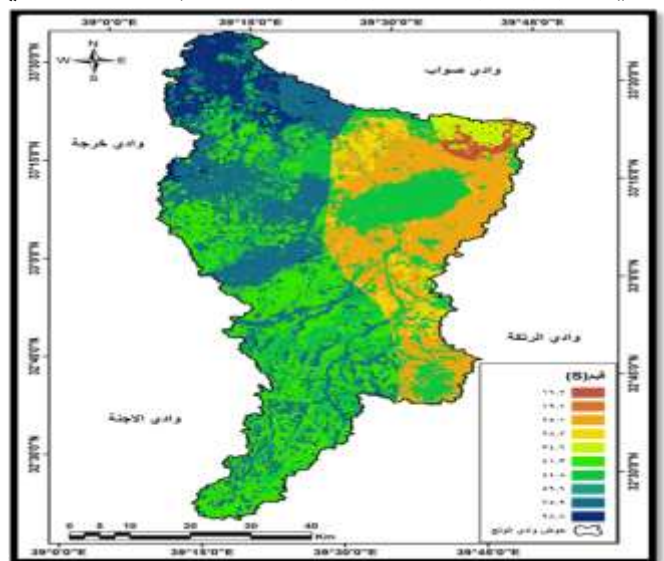
(Oli land satle 8) خريطة المصدر: بالاعتماد على المرئية الفضائية من القمر الصناعي (Erdas Imagine 9.2) بتأريخ ((V/17/7.19) ، باستخدام برنامج ((10.4.1)) .



ومن الخريطة (9) والجدول (9) يتبين إن قيم معامل (S) المحسوبة للحوض الرئيس تراوحت بين (16.2) ملم كأقل القيم والمقابلة لأعلى قيم (CN) (94)، وشغلت مساحة (54)كم ، وهي أضعف المناطق قدرة على الأحتفاظ بالماء وأكثرها قدرة على حدوث الجريان السطحي ، وبين (98.8) ملم كأعلى القيم والمقابلة لأقل قيم (CN) (72) ، وشغلت مساحة (329)كم ، وهي أكثر المناطق قدرة على الأحتفاظ بالماء، وأقلها قدرة لحدوث الجريان السطحي، فالعلاقة عكسية بين معامل (S) وقيم (CN) .

اما بالنسبة لقيم (S) المحسوبة للأحواض الثانوية فمن الجدول (10) يتبين إن أقل القيم (36.95) ملم في حوض وادي الملوسي؛ والمقابلة لأعلى قيم (87.3) وهي نتيجة متوافقة مع قيم (CN)، واصناف الترب الهيدرولوجية، والغطاء الأرضي، فضلاً عن الانحدار إذ يتميز وادي الملوسي بأعلى معدل انحدار بلغ (5.6) م/كم، بينما بلغت أقل القيم (60.75) ملم في حوض وادي بريم، والمقابلة لأقل قيم (CN) ،وهي نتيجة متوافقة مع الصفات الطبيعية لمنطقة الدراسة، وتوزعت القيم الأخرى على المساحة المتبقية .

خريطة (٩) قيم معامل (S) ملم المحسوبة لحوض وادي الولج





# جدول (٩) قيم معامل (S) ملم المحسوبة لحوض وادي الولج

المساحة	المساحة	معامل(S)	قيم
%	کم ۲	ملم	CN
٧.3	۳۲۹	98.8	72
24.1	1.90	75.9	77
0.2	٩	59.6	81
24.4	11.7	44.8	85
20.2	٩١٨	41.3	86
2.0	٨٩	34.6	88
4.1	١٨٨	28.2	90
16.4	٧٤٤	25.1	91
0.1	٦	19.1	93
1.2	٤ ٥	16.2	94
%١٠٠	१०८१		المجموع

#### جدول (10) قيم معامل (S) المحسوبة للأحواض الثانوية

الحوض	قیم CN	قیم S
حوض وادي طرفاوي	84.2	47.66
حوض وادي الحبة	85.0	44.82
حوض وادي بريم	80.7	60.75
حوض وادي الملوسي	87.3	36.95

المصدر: بالاعتماد على الجدول (7) ، وتطبيق المعادلة الحسابية (S) .

# سادساً: حساب معامل الاستخلاص الاولى (la) ملم لحوض وادى الولج

يعبُر معامل الاستخلاص الأولي ( Initial abstraction ) عن جميع كمية الأمطار المفقودة قبل بدء الجريان السطحي، وتشمل المياه المفقودة بالتسرب، والتبخر/النتح، فضلاً عن المياه المحتجزة من قبل المجموعة الخضرية وما يتجمع في المناطق المنخفضة (المنخفضات )، وتمثل قيمة (a) خمس قيمة معامل (S)، وتدل القيم المنخفضة التي تقترب من الصفر على قلة كمية مياه الأمطار المفقودة ؛ مما يؤدي إلى زيادة كمية الجريان السطحي ، وتتساوي كمية المفقود من المياه مع كمية المياه الجارية على السطح إذا بلغت قيمة (la) قيمة الوسيط وهي (50.8) ملم، أما إذا ازدادت عن هذا الحد دل ذلك على زيادة



كمية المياه المفقودة؛ وبالتالي قلة احتمالية حدوث جريان سطحي (۱۱)، تعتبر قيمة (la) متغيرة بدرجة كبيرة ولكنها ترتبط عموماً بعاملي التربة ، والغطاء الأرضي ، ويتم احتسابه وفق المعادلة الاتبة (۱۱):

#### La = 0.2 \* S

ومن الخريطة (10) والجدول (11) يتبين أن قيم (a) أقل من قيمة الوسيط بكثير، فقد تراوحت (3.24) ملم كأقل قيمة والمقابلة لأعلى قيم (CN) (94) ، وشغلت مساحة (54) كم بنسبة (1.2)%، وبين (19.76) ملم والمقابلة لأقل قيم (CN) ((72)) ، وشغلت مساحة كم بنسبة ((73))%، وتراوحت القيم الأخرى ما بين ذلك ، وتوزعت على المساحة المتبقية .

اما بالنسبة للأحواض الثانوية فمن الجدول (12) يتبين أن قيم (18) ترتبط بعلاقة عكسية مع (CN)، وطردية مع (S)، فقد بلغت أعلى قيمة (12.15) ملم في حوض وادي بريم، والمقابلة لأقل قيم (CN)، وأعلى قيم (S)، بينما بلغت أقل قيمة (7.39) ملم في حوض وادي الملوسي، ويرجع ذلك إلى خصائص الحوض الطبيعية، وهي نتائج متوافقة مع قيم (CN) وقيم (S)، ونوعية التربة، والغطاء الأرضى .

NAME 30-10-0-1E 30-10-0-1E 30-20-0-1E 30-20-

خريطة (١٠) قيم la المحسوبة لحوض وادى الولج

المصدر: الباحثة بالاعتماد على الجدول (١١) ، باستخدام برنامج Arc map 10.4.1)، ومخرجات برنامج



لحوض وادي الولج	ة ملم المحسوبة الم	جدول(11) قيم ه
-----------------	--------------------	----------------

	• ' ' '		
قیم CN	قيمla	المساحة كم٢	المساحة %
72	19.76	329	7.3
77	15.18	1095	24.1
81	11.92	9	0.2
85	8.96	1107	24.4
86	8.26	918	20.2
88	6.92	89	2.0
90	5.64	188	4.1
91	5.02	744	16.4
93	3.82	6	0.1
94	3.24	54	1.2
المجموع	_	4539	100

المصدر: بالاعتماد على الجدول (9)،

والمعادلة الحسابية la

#### جدول (12) قيم la ملم المحسوبة للاحواض الثانيوبة

الحوض	قیم CN	قیم la
حوض وادي طرفاوي	84.2	9.53
حوض وادي الحبة	85.0	8.96
حوض وادي بريم	80.7	12.15
حوض وادي الملوسي	87.3	7.39

المصدر: بالاعتماد على الجدول (10) ، وتطبيق المعادلة الحسابية (la).

# ثامناً: تقدير عمق الجريان السطحي (Runof dept (Q)

ويقصد بعمق الجريان السطحي كمية المياه الجارية على السطح عقب التساقط المطري على هيئة تدفق سطحي، والذي يعُد خلاصة التفاعل ما بين موجة مطر معينة ومكونات وخصائص حوض التصريف الطبيعية، فهو يعادل مجموع التساقط المطري الكلى



ناقصاً التجمع السطحي للمياه والتسرب والذي يختلف باختلاف نفاذية التربة، وكثافة الغطاء النباتي، وانحدار سطح الأرض، وكمية التساقط وشدته (۱۲)، فحسب نموذج هورتون (Hortonlan model) فان القدرة التسريبية لأي منطقة ليست ثابتة اثناء تساقط المطر ولكنها تبدء بقيم أولية مرتفعة ثم تتناقص سريعاً وتصل إلى قيمة ثابتة بعد مرور نصف ساعة إلى ساعتين أو ثلاث ساعات؛ لذلك فان بداية التساقط المطري يكون التسرب كبير مما يقق من امكانية حدوث جريان سطحي، ولكن بعد الوصول إلى قيمة ثابتة وتشبع التربة تصبح الفرصة مواتية لحدوث الجريان السطحي بالاعتماد على أعلى عاصفة مطربة، ووفق المعادلة الاتية (۱۶):

 $Q = \frac{(P-la)2}{p+0.8*S}$   $\vdots \quad \forall i$ 

Q= عمق الجريان السطحى (ملم) .

P= كمية الامطار المتساقطة ( ملم).

La = الاعتراض الاولي قبل بدء الجريان السطحي والمتمثل بالتبخر والتسرب والنبات .

S= التجمع السطحي بعد بداية الجريان السطحي (ملم) .

تتفق الدراسات الحديثة على إن الحد الأدنى للأمطار الازم لكي يبدأ الجريان السطحي بالحدوث والوجود يبلغ (1) ملم /دقيقة، بمجموع (10) ملم خلال العاصفة المطرية الواحدة، ويكون الجريان السطحي سريعاً تحت هذه الكمية من المطر في مناطق منابع الأحواض التصريفية والمنحدرات، لا سيما إذا توافرت الظروف المناسبة لحدوث الجريان السطحي كالصخور الصلبة شديدة التماسك والمنخفضة في قدرتها التسريبية، مع وجود انحدار شديد واراضى جرداء خالية من الغطاء النباتي والمواد المفتتة (١٥٠).

يتبين من الجدول (13) وبالاعتماد على أعلى عاصفة مطرية في السنة وللمدة المعتمدة إن أعلى عمق للجريان السطحي في حوض وادي الولج قد بلغ (16.7) ملم والناتج عن عاصفة مطرية شدتها (48) ملم في سنة (2018) م، بينما بلغ أقل عمق للجريان (0.19) ملم والناتج عن عاصفة مطرية شدتها (13.0) ملم في سنة (2012) م، وتراوحت القيم الأخرى ما بين ذلك ، وهي قيم منخفضة جداً، مما يعني أن عمق الجريان السطحي في



منطقة الدراسة ضعيف؛ ويرجع ذلك الى كون منطقة الدراسة من المناطق الجافة الصحراوية، وذات أمطار قليلة ومتذبذبة.

أما بالنسبة للأحواض الثانوية فمن الجدول (53) يتضح أن أعلى عمق للجريان السطحي ولجميع الأحواض كان في سنة (2018) م فقد بلغ -18.18–17.30 (2018) والناتج عن التوالي، والناتج عن التوالي، والناتج عن عاصفة مطرية (36) ملم، بينما بلغ كان أقل عمق في سنة (2012) م فقد بلغ -20.0 (طرفاوي – الحبة-بريم-الملوسي ) على التوالي، والناتج عن عاصفة مطرية (13.0) ملم، مما يدل على عدم حدوث جريان سطحي التوالي، والناتج عن عاصفة مطرية (13.0) ملم، مما يدل على عدم حدوث جريان سطحي هذه السنة .

جدول (13) قيم عمق الجريان السطحي (ملم) في حوض وادي الولج

			ریان (ملم)	عمق الج	قيم العاصفة المطرية	السنة
الملوسي	بريم	الحبة	طرفاوي	الولج	(ملم)	السنه
5.68	2.24	4.23	3.79	3.58	25	2010
6.46	2.71	4,89	4.41	4.19	26.4	2011
0.74	0.01	0.33	0.24	0.19	13.0	2012
6.23	2,57	4.69	4.23	4.01	26	2013
8.58	4.05	6.72	6.15	5.88	30	2014
6.23	2,57	4,69	4.23	4.01	26	2015
7.38	3.28	5.68	5.16	4.91	28	2016
12.49	6.72	10.18	9.45	9.10	36	2017
77.17	17.7.	14.14	14.14	17.7	48	2018
9.84	4.89	7.82	7.20	6.90	32	2019
٧٧	۲.٦٦	٤.٤١	٤.٩٨	٤.٧٥	_	المعدل

المصدر: الباحثة بالاعتماد على (١) وزاره النقل والمواصلات العراقية ، الهية العامة للأنواء الجوية العراقية والرصد الزلزالي ، قسم المُناخ ، بيانات غير منشورة .

eng.uci.edu.http://chrodata بالاعتماد على الموقع الأمريكي (٢)

<sup>(</sup> $^{\circ}$ ) also likelight ( $^{\circ}$ ) والمعادلة الحسابية ( $^{\circ}$ ).



يلاحظ من الجدول (13) وبالرغم من أن كمية الأمطار أكثر من (10) ملم في سنة يلاحظ من الجدول (13) وبالرغم من أن كمية الأمطار أكثر من (10) ملم في سنة (2012)م، إلا أن ذلك لن يساعد على حدوث جريان سطحي لا سيما في حوض وادي بريم؛ ويرجع ذلك الى قلة الانحدار، ونوعية التربة متوسطة النفاذية، ووجود غطاء نباتي طبيعي متوسط الكثافة، وصخور مغطاة بطبقة من الرواسب، إلى جانب كمية الأمطار القليلة جداً، والتى تتصف بتذبذبها واختلاف كميتها.

# تاسعاً: تقدير حجم الجريان السطحي (QV)

لتقدير حجم الجريان السطحي أهمية كبيرة في الدراسات الهيدرولوجية؛ إذ يتم التعرف على أكثر المناطق عرضة لغمر المياه، وبالتالي نتمكن من تحديد انسب المواقع لاقتراح مواقع السدود والخزانات المائية، كما يمكن تحديد المناطق المحتملة لآبار المياه، وقد تم تقدير حجم الجريان المائي السطحي في منطقة الدراسة من عاصفة مطرية مؤثرة ووفقاً لنتائج عمق الجريان، باستخدام المعادلة الاتية (٢١):

 $^{\prime}QV = (Q * A /1000)$ 

إذ إن:

 $QV = \Delta = \Delta = QV$  حجم الجريان السطحى (م").

Q = عمق الجريان السطحي (ملم).

A = Iلمساحة (كم ) \*.

يتبين من الجدول (14) أن مجموع حجم الجريان السطحي المتشكل في حوض وادي الوج قد بلغ ( 269.93)  $^7$  خلال عشر سنوات، أما قيم حجم الجريان لكل عاصفة ولكل سنة فقد تراوحت بين (75.80) $^7$  بنسبة (28.08) $^7$ ، الناتج عن عاصفة مطرية (48) ملم لسنة (2018) م كأعلى حجم للجريان، وبين (0.86)  $^7$  بنسبة (2018) $^7$  والناتج عن عاصفة مطرية (13.0) ملم لسنة (2012) م .

أما بالنسبة للأحواض الثانوية فقد بلغ أعلى حجم للجريان السطحي في سنة (2018) م، لجميع الأحواض، بينما بلغ أقل جريان في سنة (2012) م، ينظر الجدول (١٤).

يتضح أن حجم الجريان السطحي يتوافق مع قيم (CN) ومساحة الحوض التجميعية وخصائصه الطبيعية والبشرية، فقد سجل حوض وادي الملوسي أعلى حجم للجريان السطحي بلغ (78.49) م بنسبة (29.08)% من اجمالي حجم الجريان الكلي، وهي نتيجة متوافقة



مع (SCS-CN) ويرجع ذلك بالدرجة الأساس الى نوعية التربة المتضمنة صنفي (C-D) فاذية منخفضة إلى منخفضة جداً، فضلاً عن الغطاء الأرضي الذي تغلب علية صفة الأراضي الجرداء، إضافة إلى الانحدار إذ يعُد أكثر الأحواض انحداراً، بينما سجل حوض وادي الحبة أقل حجم للجريان بلغ (31.82) م بنسبة (11.79)%، بالرغم من إن قيمة وادي الحبة أقل حجم للجريان بالأخرى (طرفاوي ، بريم) إلا أنه أقل حجم للجريان ويرجع ذلك إلى لعدة أسباب؛ أهمها مساحة الحوض التجميعية اذ يعُد أصغر الأحواض الثانوية مساحة، فكلما كبرت مساحة الحوض زادت كمية الأمطار التي يستحوذ عليها، بالإضافة إلى نوعية التربة متوسطة النفاذية، والغطاء الأرضي الذي يتمثل أغلبة بالغطاء النباتي الطبيعي الفقير.

جدول (14) قيم حجم الجريان السطحي (م") في حوض وادي الولج وأحواضة الثانوية

حوض وادي الملوسي		پ بريم	حوض ولاي بريم		حوض وادي الحبة		حوض وادي الحبة		حوض وادي	الولج	حوض وادي	كمية	السنة
النسبة %	حجم الجزيان م	النسجة %	حجم الجريان م	النسبة %	حجم الجريان م	النبة %	حجم الجريان م	النبية %	حجم الجريان م	الأمطار (ملم)			
7.79	0.70	0.49	۲.1۰	1,71	۲	7,1.	٤.١٧	71	17.70	25	7.1.		
Y.7.1	0.97	1.1.	2.54	17.7	1,71	11.7	£A1	٧٥	197	26.4	1.11		
• AY	٠,٦٨	٠.٠٢	0.01		17	۲۸.	. 17	- 77	. 41	13.0	7.17		
٧.٣٤	0,77	١.٠٧	2.41	1,40	7.71	1.41	17.3	1.75	14.1	26	1.17		
1.1.	٧,٩٣	9.0%	3.80	9,91	7,17	4.4.	7,77	9,49	77,79	30	7.15		
٧.٣٤	0,77	1	2.41	1,90	7.71	1.47	17.3	1.75	14.1	26	7.10		
A.19	7,47	٧.٧٤	3.07	1.54	1.74	17.1	0.74	4,11	77.79	28	7.17		
15,44	11,00	10.44	6.30	10.11	٤.٨١	10.14	1	10.7.	٤١,٣٠	36	7.17		
40.0	19.66	٣١.٤٠	12.46	17,17	8.58	77.77	18.95	۲۸.۰۸	Yo.A.	٤٨	2018		
11.09	4.1.	11.05	4.58	11.09	٣.٦٩	11.7	٧.٩٣	11,3+	T1_TT	32	7.19		
%1	78.49	%1	39.68	%1	31.82	1	68.35	%1	269.93	8373	لمجموع		

Arc map ) ، وبرنامج ( QV ، والمعادلة الحسابية QV ، وبرنامج ( QV ) ، والمعادلة الحسابية QV . ( QV ) .

#### الاستنتاجات

١ .دلت النتائج على وجود ثلاثة أنواع من الترب وتتمثل (B−C−D) والتي تتراوح في درجة نفاذيتها ما بين المتوسطة النفاذية والمنخفضة جداً .



Y.بالاعتماد على طريقة (SCS-CN) تم تصنيف الغطاء الأرضي وتبين إن الحوض يتضمن أراضي جرداء وصخور مغطاة بطبقة من الرواسب وغطاء نباتي طبيعي فقير والذي يشغل أكبر مساحة وغطاء نباتي طبيعي متوسط الكثافة .

٣. تم تقدير الجريان السطحي في حوض وادي الولج بالاعتماد على الشدة المطرية ولمدة عشر سنوات وتبين إن الحوض من حيث خصائصه الطبيعة ذات قدرة على حدوث الجريان السطحي إذ تراوحت قيم CN بين (٢٧-٩١) أي ذات قدرة متوسطة إلى قوية لحدوث الجريان السطحي والذي، تختلف كمية باختلاف كمية المطر، ويساهم حوض وادي الملوسي بأكبر كمية من الجريان السطحي .

#### المقترجات

1. إنشاء محطتين مشتركتين هيدرولوجية ومناخية ويكون موقع الأولى عند منطقة التغذية بالقرب من الحدود العراقية الأردنية والثانية عند نهاية المقياس، لافتقار المنطقة بل وحاجتها لذلك؛ للحصور على بيانات أكثر دقة لوضع خطط تتموية قائمة على أساس علمي تطبيقي سليم مما يسهم بتنمية شاملة.

٢. ضرورة الاهتمام بوضع خطة علمية محكمة للاستفادة من مياه الحوض (بكمياتها)
 وكيفية أدارتها من خلال القيام بإنشاء سدود تخزينية (تطبيق تقانة الحصاد المائي) للاستفادة
 منها في المشاريع التنموية الزراعية والرعوية وغيرها لحاجة المنطقة اليها .

#### • الإحالات

- . (Arc map10.4.1) بالاعتماد على برنامج
- Soil conservacation service . Urban Hydrology for small watershed . . Technical releases 55 ,  $2^{\rm nd}$  , U.s.Dept of agriculture , Washington D.c.1986 , A-
- Muche muluken E . , Stacy L . Hutchinson , J . M . shawn Hutchinson , . .  $\ref{T}$  John M . Johnston , phenology adjusted dynamic curve number for improved hydrologic modeling , journal of environmental management , 235 , 2019 pp 405
- أحمد سالم صالح ، السيول في الصحاري نظريا وعمليا ، دار الكتاب الحديث ، القاهرة ، ١٩٩٩ ،
   ٣٠ ص ٣٠.



- Sameer shaded , mohammad al masri , application of Gis –based SCS .  $\bullet$  CN method in west bank catchments , Palestine , water science and engineering , dol : 10 , 2010 , pp 5
- Shah ketul, A.T. motiani, Indra Prakash, khalid mehmood, application . To of scs-cn method for estimation of rynoff using gis, international journal of advance engineering and research development, volume (4),issue (4),2017, pp 560.
- ٧٠ عبد الرحمن احمد حميدة الرياني ، وآخرون ، تقدير الجريان السطحي لبعض احواض الاودية في شمال غرب ليبيا ، المجلة الليبية للعلوم الزراعية ، المجلد (24) ، العدد (1) ، ٢٠١٩ ، ص22 .
- Soulis k . x . and J .d . valiantzas , scs cn parameter determination  $. \lambda$  using rainfall runoff data in heterogeneous watersheds –the tow cn system approach , hydrology and earth system scinces , sci ., 16 , 2012 , pp1014
- Soulis k . x . and J .d . valiantzas , scs cn parameter determination .9 using rainfall runoff data in heterogeneous watersheds –the tow cn system approach, opic,pp1014.
- 1. علي محسن كامل الشريفي ، زهراء مهدي عبد الرضا العبادي ، بناء نموذج الجريان السطحي لحوض وادي مزعل بطريقة (SCS-CN) ، مجلة القادسية للعلوم الإنسانية ، المجلد (2)، العدد(4) ، 2018 ، ص ٣٧١.
- Soil conservacation service . Urban Hydrology for small watershed . . . 1 Technical releases 55 , opic , A-1
- 11. هيفاء محمد النفيعي ، تقدير الجريان السطحي ومخاطرة السيلية في الحوض الأعلى لوادي عرنة شرق مكة المكرمة بوسائل الاستشعار عن بعد ونظم المعلومات الجغرافية ، رسالة ماجستير (غير منشورة) ، كلية العلوم الاجتماعية ، جامعة ام القرى ، ٢٠١٠ ، ص ١١٥ .
  - 17. احمد سالم صالح ، السيول في الصحاري نظرياً وعملياً ، مصدر سابق ، ص ٣٤ .
- Soulis k . x . and J .d . valiantzas , scs cn parameter determination . \ \cdot \text{t}
  using rainfall runoff data in heterogeneous watersheds -the tow cn system
  .approach , hydrology and earth system scinces , sci ., 16 , 2012 , pp1014
  - ١٠. احمد سالم صالح ، السيول في الصحاري نظرياً وعملياً ، مصدر سابق ، ص ٢١-٢٣ .
- 11. هيفاء محمد النفيعي ، تقدير الجريان السطحي ومخاطرة السيلية في الحوض الأعلى لوادي عرنة شرق مكة المكرمة بوسائل الاستشعار عن بعد ونظم المعلومات الجغرافية ، مصدر سابق ، ص ١٣٤.



#### • المصادر

#### اولاً: المصادر باللغة العربية

- 1. أحمد سالم صالح ، السيول في الصحاري نظريا وعمليا ، دار الكتاب الحديث ، القاهرة ، ١٩٩٩ .
- عبد الرحمن احمد حميدة الرياني ، وآخرون ، تقدير الجريان السطحي لبعض احواض
   الاودية في شمال غرب ليبيا ، المجلة الليبية للعلوم الزراعية ، المجلد (24)، العدد (1).
- ٣. علي محسن كامل الشريفي ، زهراء مهدي عبد الرضا العبادي ، بناء نموذج الجريان السطحي لحوض وادي مزعل بطريقة (SCS-CN) ، مجلة القادسية للعلوم الإنسانية ، المجلد (2)، العدد (4) 2018 .
- 3. هيفاء محمد النفيعي ، تقدير الجريان السطحي ومخاطرة السيلية في الحوض الأعلى لوادي عرنة شرق مكة المكرمة بوسائل الاستشعار عن بعد ونظم المعلومات الجغرافية ، رسالة ماجستير (غير منشورة) ، كلية العلوم الاجتماعية ، جامعة ام القرى ، ٢٠١٠ .

#### ثانياً: المصادر باللغة الإنكليزية

- 1. Hossam H.Elewa . Atef A . Gaddah , ground water potentiality mapping in the sinai peninsula , egypt , using remote sensing and Gis-watershed based modeling , hydrogeology journal , 2011 , 19
- 2. Muche muluken E . , Stacy L . Hutchinson , J . M . shawn Hutchinson , John M . Johnston , phenology adjusted dynamic curve number for improved hydrologic modeling , journal of environmental management , 235 , 2019 .
- 3. Sameer shaded , mohammad al masri , application of Gis based SCS CN method in west bank catchments , Palestine , water science and engineering , dol : 10 , 2010 .
- 4. Shah ketul, A .T . motiani , Indra Prakash , khalid mehmood, application of scs-cn method for estimation of rynoff using gis,



international joural of advance engineering and research development, volume (4),issue (4),2017.

5. Soil conservacation service . Urban Hydrology for small watershed . Technical releases 55 ,  $2^{\rm nd}$  , U.s.Dept of agriculture , Washington D.c.1986.

Soulis k . x . and J .d . valiantzas , scs – cn parameter determination using rainfall – runoff data in heterogeneous watersheds –the tow – cn system approach , hydrology and earth system scinces , sci ., 16 , 2012 .

ا تبلغ مساحة حوض وادي الولج (٤٥٣٩) كم٢ ، والاحواض الثانوية (طرفاوي ١١٠١٥-الحبة٤٧٢.٢- بريم١٩٣٧. الملوسي٨٤٤.٤) كم٢. الملوسي٨٤٤.